

Biblio :

Duffait  
Sextant  
Bruehat  
H. Piépa - Optique ondulatoire

Plan :I. Diffraction de Fresnel à Fraunhofer.

1. mise en évidence des zones de Fresnel.
2. De Fresnel à Fraunhofer.

II. Approximation de Fraunhofer - Cas de la fente

1. Etude qualitative
2. Enregistrement de la figure de diffraction.

III - Applications.

1. Théorie du Réseau.
2. Filtrage spatial
3. Pouvoir séparateur.



En P, on observe les interférences provoquées par les ondes émises de toutes les zones de Fresnel sélectionnées par le trou diffractant (OD).

Zones de Fresnel: intersection des sphères de centres S et B délimitées par l'OD.

Observation à l'écran.

Pour z décroissant, succession de centres noirs et brillants



$r$  rayon de l'OD  
 $b$  distance OD à P  
 $n$  nombre de zones

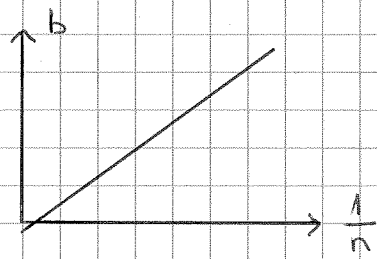
$$\Rightarrow r = \sqrt{\frac{ab\lambda n}{a+b}} \quad (\text{Babinet})$$

Approx:  $a \gg b$

$$r = \sqrt{b\lambda n}$$

$$\Rightarrow b = \frac{r^2}{\lambda} \times \frac{1}{n}$$

Vérifions cette loi:



Manipulation: 1 point au direct

$$\begin{cases} r = 8 \\ b = 41 \text{ cm} \end{cases}$$

Expérimentalement:  $r = 1.3 \pm 0.1 \text{ mm}$   
 $\lambda = 632.8 \text{ nm}$

$$\Rightarrow \text{pente}_{\text{vue}} = 2.43 \mu$$

$$\text{ou } \frac{r^2}{\lambda} = \frac{(1.3 \cdot 10^{-3})^2}{632.8 \cdot 10^{-9}} = 2.67 \mu$$

} Ecart relatif:  $\approx 9\%$

Conclusion  $\Rightarrow$  vérification de la loi de proportionnalité entre  $b$  et  $\frac{1}{n}$

## 2) Passage de Fraunhofer à Fresnel.

(Sextant p.141).

} Condition pour la diffraction de Fraunhofer :  $D \gg \frac{a^2}{\lambda}$   
Fresnel  $D \ll \frac{a^2}{\lambda}$

En refermant le montage précédent et en remplaçant l'objet diffractant (trou) par une fente, faire l'image de cet objet sur l'écran. En ouvrant la fente, la figure de diffraction se retrouve alors à l'intérieur de l'image de la fente.

→ Diffraction de Fresnel

En refermant la fente progressivement, la figure de diffraction apparaît à l'extérieur de l'image de la fente.

⇒ Diffraction de Fraunhofer.

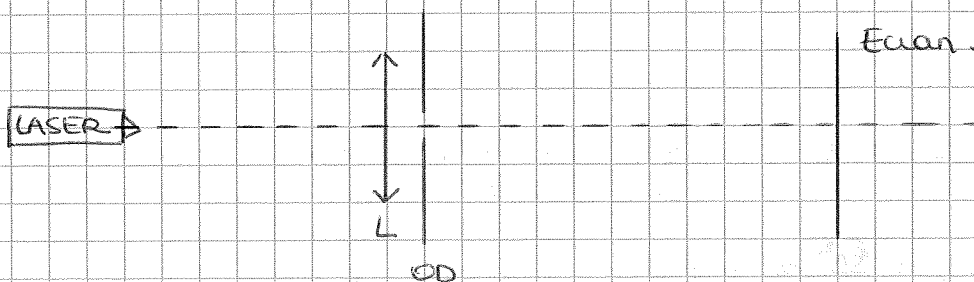
## II - Approximation de Fraunhofer - Cas de la fente.

Caducé : Illustration du lien entre la TF de l'objet diffractant (ici une fente) et l'éclairement  $\mathcal{E}$  vu à l'écran.

$$\mathcal{E} = \mathcal{E}_0 \operatorname{sinc}^2 \left( \frac{\pi ax}{\lambda D} \right)$$

$a$  : largeur fente  
 $D$  :  $OD \rightarrow$  écran.

1) Etude qualitative (Sextant p.110)



Remarque : Ici Fraunhofer approché : l'écran est placé à l'image géométrique de L ( $L = 62 \text{ cm}$ )

Vérifier  $\frac{a^2}{\lambda} \ll D$ .

## Observation de la figure de diffraction dans le plan de Fourier.

\* Modifier largeur de la fente :

⇒ figure de diffraction est + étalée que la fente petite.

\* Translation de la fente  $\perp$  axe optique.

⇒ figure inchangée

\* Rotation de la fente

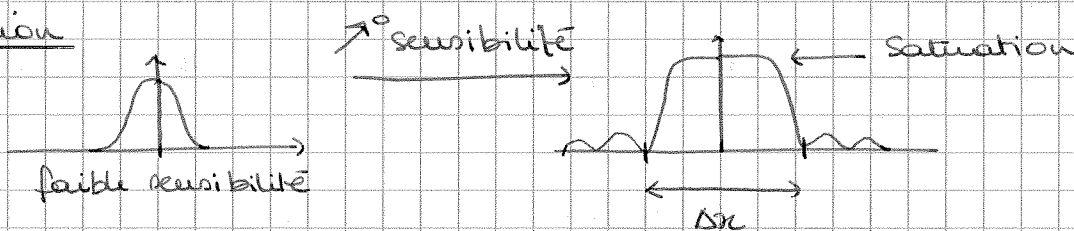
⇒ figure de diffraction selon la plus petite dimension de la fente.

⇒ Conclusion : en accord avec les propriétés de la TF.

## 2) Enregistrement de la figure de diffraction.

Même montage + Caliens.

Observation



\* Il est très difficile d'observer le pic principal et les pics secondaires avec la même sensibilité.

On s'intéresse ici à la largeur des pics donc il n'est pas nécessaire d'avoir l'amplitude totale des pics.

\* Remarque : utiliser des densités optiques pour ne pas saturer CALIENS.

\* Mesure de  $\Delta x$  permet d'obtenir la largeur de la fente

grâce à :

$$\Delta x = 2 \frac{\lambda D}{a} \Rightarrow a = \frac{2\lambda D}{\Delta x}$$

$$\Delta x = \mu m \Rightarrow a_{mes} =$$

$$\frac{\Delta a}{a} = \frac{\Delta \lambda}{\lambda} + \frac{\Delta D}{D} + \frac{\Delta x}{x} =$$

### III. Applications.

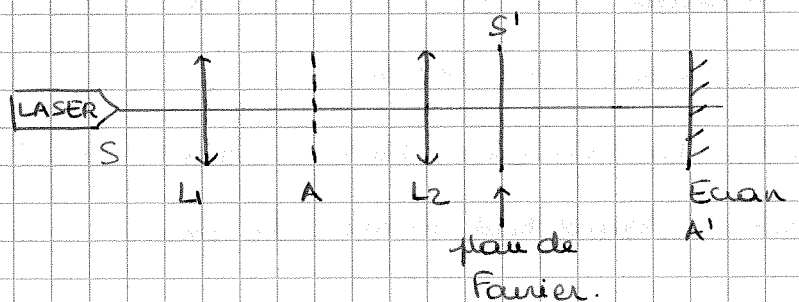
#### 1) Illustration du th de Babinet. (Sextant p.112)

En considérant deux objets complémentaires, on observe que la figure de diffraction est la même pour les deux objets, sauf au voisinage du centre de la figure.

Application: mesure de très petit objet

Mesure quantitative possible  $\Rightarrow$  Spax de lipocodé.

#### 2) Filtrage spatial (Sextant p.129)



en A: objet diffractant lettre A.

S' image de S par les 2 lentilles.

A' image de A par L2.

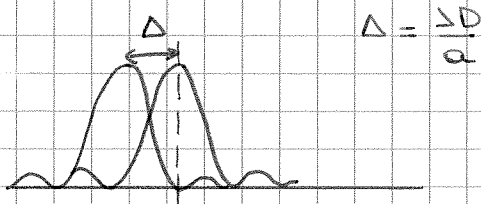
En S' filtrage de la composante d'ordre 0 de la TF de l'objet diffractant  $\Rightarrow$  passe haut.

### 3) Pouvoir séparateur (Duffait p.109)

Idée : l'image d'1 point  $\rightarrow$  1 tache  
l'\_\_\_\_\_ 2 points  $\rightarrow$  2 taches

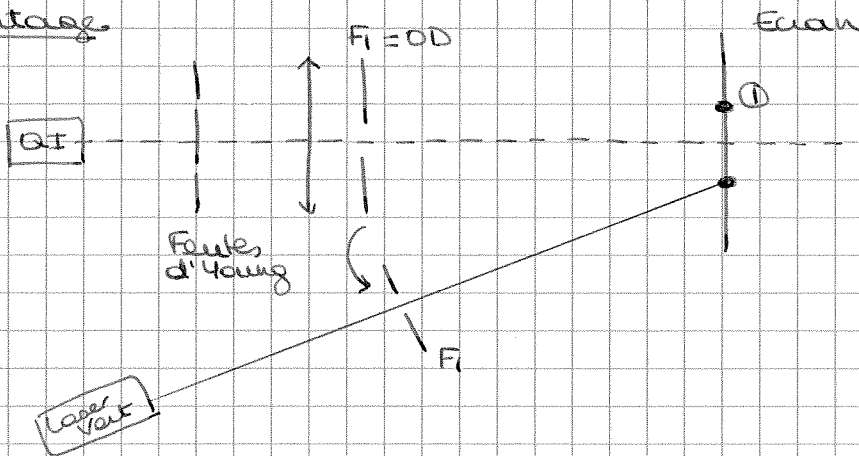
$\Rightarrow$  lorsque l'on ne peut plus distinguer les 2 pts : limite du pouvoir séparateur de l'appareil.

$\Rightarrow$  Critère de Rayleigh : la limite de résolution est atteinte lorsque le maximum principal d'une tache de diffraction correspond au 1<sup>er</sup> minimum de l'autre tache.



But : Comparer  $\Delta$  mesuré sur l'écran et  $\Delta_{th} = \frac{\lambda D}{a}$ .

Montage



- le laser vise 1 ds 2 taches à l'écran correspondant à l'image spo d'1 ds fentes d'Young.
- Modifier  $F_1$  (fente simple) jusqu'à ce que les 2 fentes ne puissent plus être séparées.
- Puis positionner  $F_1$  devant le laser  $\rightarrow$  on vérifie alors que le max d'intensité de la fente d'Young ① correspond au min de la figure de diff du laser.
- On peut comparer  $\Delta_{th}$  et  $\Delta_{exp}$ .

## Conclusion :

- Mise en évidence de l'aspect ondulatoire de la lumière
- Importance de la diff de Fraunhofer qui accompagne toujours l'image géométrique de la source.
- Applications: réseau cristallin et mesure ponctuelle de l'ordre de l'Å grâce aux rayons X.